

ПАРАМЕТРЫ УПРУГОПЛАСТИЧЕСКОЙ ДИЛАТАНСИОННОЙ МОДЕЛИ
ДЛЯ ГЕОМАТЕРИАЛОВ

С. М. КАПУСТЯНСКИЙ, В. Н. НИКОЛАЕВСКИЙ

(Ленинград, Москва)

По данным трехосных испытаний образцов геоматериалов на сжатие подобраны прочностные и дилатансионные коэффициенты в функции от параметра упрочнения (разупрочнения). Выявлено существенное изменение сцепления, внутреннего трения и скорости дилатансии с давлением и начальной пористостью. Полученные результаты позволяют проводить численные расчеты геодинамических процессов с внутренним множественным разрушением.

1. Замкнутая математическая модель упругопластического деформирования геоматериалов включает в себя уравнение баланса количества движения

$$\rho dv_i/dt = \partial S_{ij}/\partial x_j - \partial p/\partial x_i + F_i,$$

где ρ — плотность; v_i — массовая скорость; S_{ij} — тензор-девиатор напряжений; p — давление; F_i — массовые силы, а также определяющие связи, характерные для геоматериалов. Существенным элементом последних является одновременный учет внутреннего трения и дилатансии.

Используемые ниже законы течения с упрочнением [1] представим в виде

$$\tilde{d}S_{ij}/dt = 2G(\varepsilon_{ij} - \varepsilon\delta_{ij}/3 - \xi S_{ij}), \quad \tilde{d}p/dt = -K(\varepsilon - 2\xi\Lambda\tau),$$

где \tilde{d}/dt — производная Яуманна; $\varepsilon_{ij} = (1/2)(\partial v_i/\partial x_j + \partial v_j/\partial x_i)$ — тензор скорости деформаций; $\varepsilon = \partial v_i/\partial x_i$;

$$\frac{d\lambda}{dt} = \tilde{\xi} = \frac{1}{2} \left(\frac{3G}{4} \frac{S_{ij}\varepsilon_{ij}}{\tau^2} \frac{\partial\varphi}{\partial\tau} - K \frac{\varepsilon}{\tau} \frac{\partial\varphi}{\partial p} \right) \Delta$$

$$\Delta = G \frac{\partial\varphi}{\partial\tau} - \Lambda K \frac{\partial\varphi}{\partial p} - \frac{1}{2\tau} \frac{\partial\kappa_i}{\partial\lambda} \frac{\partial\varphi}{\partial\kappa_i}.$$

Здесь κ_i — параметр упрочнения (разупрочнения) геоматериала; τ — интенсивность напряжений сдвига; напряжение

$$\frac{4}{3}\tau^2 = \frac{1}{2} S_{ij}S_{ij}, \quad S_{ij} = \sigma_{ij} + p\delta_{ij}, \quad p = -\frac{1}{3}\sigma_{ii}.$$

Для единственности решения необходимо выполнение условия $\Delta > 0$. При $\Delta \leq 0$ непрерывное развитие пластического течения невозможно.

Условие пластического нагружения будем искать в виде

$$\varphi(\tau, p, \kappa_i) = \tau - \tau_i(p) - f_i(p)\kappa_i = 0,$$

где индекс $i = 1$ — процесс пластического упрочнения, $i = 2$ — разупрочнения, $i = 3$ — остаточной прочности; $\tau_i(p)$, $f_i(p)$ — соответствующие функции давления. Пластическое течение имеет место, если $\varphi = 0$, $d\varphi = 0$ и $\xi \geq 0$. Если $\varphi < 0$ или $\xi < 0$, то происходит упругая разгрузка.

Использованные выше объемный K и сдвиговый G модули зависят от p и κ_i . Модуль K может зависеть еще и от знака dp , что позволяет учесть необратимую объемную деформацию при всестороннем сжатии. Скорость дилатансии $\Lambda = de^p/|d\gamma^p|$ определяется как пластическое приращение объема, обусловленное единичным пластическим приращением сдвига:

$$d\gamma^p = \frac{1}{2} dE_{ij}^p dE_{ij}^p, \quad de^p = de_{ii}^p, \quad dE_{ij}^p = de_{ij}^p - \frac{1}{3} de_{ij}^p \delta_{ij}.$$

2. В соответствии с общим видом поверхностей предела упругости ($i = 1$), максимальной прочности ($i = 2$) и остаточной прочности ($i = 3$) выберем функции $\tau_i(p)$ в виде ($i = 1, 2, 3$)

$$\tau_i = (Y_i + \alpha_i p)^{S_i} \quad (p \leq p_i^{(m)}),$$

$$\tau_i = \tau_i^{(m)} = \text{const} \quad (p > p_i^{(m)}),$$

$$\alpha_i = (Z_i - Y_i)/\tau_i^0, \quad Z_i = (\tau_i^0)^{1/S_i},$$

$$\tau_1^0 = \tau_y/\tau_f^0, \quad \tau_2^0 = 1, \quad \tau_3^0 = \tau_r/\tau_f^0,$$

$$p_1^{(m)} \approx (2,3\alpha_1 S_1)^{\frac{1}{2}}, \quad \zeta = (1 - S_1)^{-1},$$

$$p_2^{(m)} = p_3^{(m)} \approx (\alpha_2 S_2 / \alpha_3 S_3)^{\nu}, \quad \nu = (S_3 - S_2)^{-1},$$

где τ и p — безразмерные величины (в качестве параметров безразмеривания используются τ_f^0 и $p_f^0 = (2/3)\tau_f^0$); α_i, S_i — постоянные для каждого геоматериала. Числа $\tau_y^0, \tau_f^0, \tau_r^0$ — значения пределов упругости, прочности (максимальной и остаточной) при одноосном сжатии. Давления $p_1^{(m)}$ и $p_2^{(m)} = p_3^{(m)}$ характеризуют переход от кулоновых пластических состояний к состояниям Треска — Мизеса соответственно в начальной стадии дилатансионного деформирования и за пределом прочности. При выводе выражения для $p_1^{(m)}$ использован экспериментальный результат [2] о приближенной независимости конкретного значения отношения $C^m = \sigma_1/\sigma_3 \approx 0,3$, характеризующего указанный переход, от типа геоматериала. Заметим, что минимальное значение давления $p = p_0$, при котором еще может происходить течение материала, определяется на участке упрочнения из условия $\tau_1(p_0) = \tau_2(p_0)$.

Параметр упрочнения вычисляется по формуле

$$\kappa_1 = p_y^{\frac{1}{n}} \sqrt{(2\gamma^p - e^p)/3},$$

где p_y — давление отсчета, соответствующее точке A пересечения пути деформирования с пределом упругости (см. рисунок);

$$n = n_1 = \frac{S_1}{2(\tau_2/\tau_1 - 1)} \quad (p_y \leq p_1^{(m)}); \quad n = 0 \quad (p_y \geq p_2^{(m)});$$

$$n = n_1 (p_2^{(m)} - p_y) / (p_2^{(m)} - p_1^{(m)}) \quad (p_1^{(m)} < p_y < p_2^{(m)}).$$

Параметр разупрочнения определяется в виде

$$\kappa_2 = M p_f^{-q} \frac{\Delta(2\gamma^p - e^p)}{3}, \quad q = \frac{S_2}{2(1 - \tau_3/\tau_2)},$$

где p_f — давление отсчета, соответствующее точке B пересечения пути деформирования с пределом прочности; $\Delta(2\gamma^p - e^p)$ — приращение величины $(2\gamma^p - e^p)$, отсчитанное от ее значения на пределе прочности. Модуль спада M вычисляется по формуле

$$M = M^0 (p_2^{(m)} - p_f)^2 / (p_2^m - 1)^2 \quad (p_f \leq p_2^{(m)}),$$

$$M = 0 \quad (p_f > p_2^{(m)}),$$

где M^0 — модуль спада при одноосном сжатии, нормированный на τ_f^0 . Функции $f_i(p)$ представим степенными выражениями $f_i(p) = A_i p^{-m_i}$; $A_2 = -1, A_3 = 0$,

$$m_1 \approx n, m_2 \approx -q.$$

Инвариантный вид скорости дилатансии на участках упрочнения и разупрочнения определяется формулой

$$\Lambda = \Lambda^0 \exp \{-a_0 \operatorname{sign}(R) \sqrt{|R|}\} \quad (R \geq b \text{ или } R < b \text{ и } \tau \leq \tau_2),$$

$$\Lambda = \Lambda_*^0 \exp \{-a_1 \operatorname{sign}(R) \sqrt{|R|}\} \quad (R < b \text{ и } \tau \geq \tau_2).$$

Здесь $R = (p - \tau)/3$ (в частности, если $\sigma_2 = \sigma_1$, то $R = -\sigma_1/\tau_f^0$); $a_1 = a_0 + \ln(\Lambda_*^0/\Lambda^0)/\sqrt{b}$; Λ^0 и Λ_*^0 — значения скоростей дилатансии при одноосном сжатии слева и справа от предела прочности. При $R \geq b$ скорость дилатансии не испытывает скачка при переходе через предел прочности. Параметр b близок к нулю ($b > 0$), однако экспериментальных значений его пока нет.

Выражение для скорости дилатансии получено путем обработки экспериментальных данных [2, 3]. При постоянном боковом давлении σ_1 величина Λ не меняется в процессе деформирования вплоть до остаточной прочности, где Λ резко уменьшается до нуля. При малых значениях $|\sigma_1|$ для некоторых геоматериалов имеет место скачкообразное увеличение Λ при переходе через предел прочности.

Модули упругости K и G можно вычислить следующим образом. На участке упрочнения модули практически не меняются в процессе деформирования

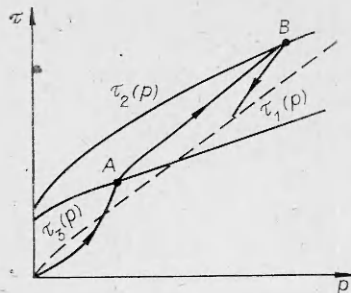


Таблица 1

Шифр	$m_0, \%$	$\tau_7^0, \text{МПа}$	$K_1 \cdot 10^{-2}$	$C_1 \cdot 10^{-2}$	$Y_1 \cdot 10^3$	S_1	S_2	S_3
Песчаники								
П-0	0,36	120	4,1	2,1	23	0,56	0,66	—
Д-9	1	143	2,0	2,0	31	0,56	0,62	—
П-4	1,3	146	3,2	1,5	—	—	0,69	—
П-03	1,5	143	2,0	1,7	19	0,61	0,67	—
П-01	1,7	126	2,5	1,7	—	0,62	0,66	—
П-02	2	159	2,0	1,6	12	0,65	0,70	—
П-5	4	202	1,6	1,6	—	—	0,58	—
П-026	5,3	74	3,1	1,5	—	0,67	0,69	—
П-021	5,7	46	—	—	—	—	0,69	—
ВО	6	65	1,2	1,3	4	0,71	0,75	—
НВО	6	71	0,7	0,8	10	0,68	0,71	0,85
Nugget	6	150	—	—	—	—	0,80	—
Д-8	7,4	66	1,7	1,3	11	0,60	0,69	—
П-04	18,6	39	2,8	2,4	4	0,71	0,75	—
Д-12	—	79	1,6	1,2	—	—	0,74	—
Граниты								
Биотитовый	0,6	90	3,1	2,6	2	0,74	0,77	0,87
Гранодиорит Сlimax	0,7	150	—	—	—	0,58	0,75	—
Westerly	0,8	110	—	—	80	—	—	—
Гранодиорит Hoggar	—	105	—	—	—	—	0,80	—
Плагιοгранит биотитовый	1,6	145	2,5	1,6	—	—	—	—
Плагιοгранит	2,2	167	1,9	1,5	—	—	—	—
Алевролиты								
Из скважины 328	1,2	91	2,3	1,9	30	0,43	0,48	—
П-4	1,3	137	—	—	—	—	0,69	—
Из скважины 322	1,67	79	1,7	1,5	—	0,41	0,48	—
» 330	2	76	—	—	—	0,38	0,45	—
П-3	2,1	122	1,7	1,4	—	—	0,70	—
П-2	2,2	168	2,6	1,6	—	—	0,64	—
П-6	2,6	53	5,9	4,4	—	—	0,64	—
П-1	3,6	104	3,6	2,1	—	—	0,70	—
Д-19	—	90	2,2	1,5	—	0,65	0,70	—
Мраморы								
Мрамор II	0,11	38	12,4	6,4	0	0,54	0,59	—
Мрамор I	0,92	60	5,6	2,6	0	0,64	0,69	0,84
Известняки								
Д-6	1	92	5,1	2,9	0	0,61	0,65	—
Эстонский сланец	—	40	3,0	2,2	0	0,50	0,55	—
КМА	17,4	33	7,2	4,5	—	—	0,60	—
Диабазы								
№ 5	0,58	84	4,9	3,1	18	0,63	0,65	—
Братская ГЭС	0,98	150	3,7	2,3	19	0,61	0,64	—
Диориты								
№ 11	0,15	208	2,1	1,5	14	0,52	0,56	—
Кварцевый	0,36	125	—	—	3	0,72	0,76	—

10*

Таблица 2

Шифр	τ_1^0 , МПа	τ_1^0	τ_3^0	A_1	$M^0 \cdot 10^{-3}$	Λ^0	Λ^0_*	α_0	$R_1 \cdot 10^3$
Песчаники									
П-0	120	0,74	—	20	—	1,44	—	0,63	61
Д-9	143	0,70	—	19	—	0,71	—	0,93	51
П-4	146	0,34	—	—	—	—	—	—	—
П-03	143	0,73	—	21	—	1,20	—	1,60	49
П-01	126	0,85	—	19	—	1,27	—	1,29	59
П-02	159	0,85	—	13	—	1,07	—	0,23	51
П-5	202	0,74	—	6,4	—	—	—	—	—
П-026	74	0,78	—	20	—	1,10	—	0,64	30
П-021	46	0,72	—	40	—	1,22	—	0,80	47
ВО	65	0,78	0,09	35	5,0	1,50	—	1,14	32
НВО	71	0,85	0,07	32	2,1	1,40	1,6	1,31	—
Nugget	150	—	—	—	—	1,85	—	2,30	40
Д-8	66	0,77	—	26	—	1,58	—	0,76	51
П-04	39	0,62	—	33	—	1,90	—	1,20	32
Д-12	79	0,71	—	—	—	0,94	—	0,54	—
Arcose	34	—	—	—	1,0	—	—	—	—
Граниты									
Биотитовый	87	0,80	0,07	39	0,9	1,5	1,6	1,4	—
Гранодиорит Climax	150	0,20	—	—	—	—	—	—	—
Westerly	110	—	—	—	—	1,42	—	0,93	—
Плагιοгранит биотитовый	145	0,85	0,02	—	1,4	—	—	—	—
Плагιοгранит	167	0,86	0,02	—	2,4	—	—	—	—
Алевролиты									
Из скважины 328	91	0,75	—	30	—	1,17	—	0,77	—
» 322	79	0,76	—	—	—	1,0	—	0,70	—
» 330	76	0,82	—	—	—	1,08	—	0,35	—
Д-19	90	0,76	—	—	—	0,74	—	1,11	—
Мраморы									
Мрамор II	38	0,80	0,05	25	0,3	1,2	1,3	1,15	—
Мрамор I	60	0,56	—	—	—	0,87	—	0,50	—
Каррарский	38	—	0,13	—	0,3	—	—	—	—
Tennessee	16	—	0,16	—	18	—	—	—	—
Известняки									
Д-6	92	0,85	—	20	—	0,64	—	0,30	—
Эстонский сланец	40	0,72	—	—	—	0,28	—	2,15	—
КМА	33	0,45	—	—	—	—	—	—	—
d'Fuville	16	—	0,32	—	9,0	—	—	—	—
Диабазы									
№ 5	84	0,92	—	32	—	1,10	—	1,27	54
Братская ГЭС	150	0,88	0,01	39	4,5	0,92	—	1,00	59
Диориты									
№ 11	208	0,86	—	12	—	0,77	—	1,19	83
Кварцевый	125	0,64	—	24	—	0,81	—	0,44	32

Таблица 3

Коэффициенты	Песчаники								Алевролиты		
	Y_1	S_1	S_2	τ_1^0	A_1	Λ^0	a_0	R_1	S_2	Λ^0	a_0
M_i	0,02	0,61	0,66	0,80	20	1,03	0,79	0,05	0,46	1,31	1,43
$N_i \cdot 10^3$	-1,1	6,3	5,6	-7,4	1100	50	51	-1,4	65	-140	-510
$K, \%$	—	58	86	—	69	86	85	70	46	84	93

[4]. По-видимому, это же наблюдается и на участке остаточной прочности. В первом приближении упругие модули на последнем участке можно найти путем линейной интерполяции по значениям остаточных модулей, определяемых [5] из опытов на одноосное сжатие, и значениям модулей при $p \geq p_2^{(m)}$ (последние совпадают с модулями неразрушенного материала [6]). На участке разупрочнения упругие модули уменьшаются в процессе деформирования и могут быть приближенно определены путем линейной интерполяции по значениям остаточных модулей и значениям модулей неразрушенного материала (на пределе максимальной прочности).

3. Для получения постоянных, входящих в уравнения поверхности текучести и в дилатансионное условие, обработаны результаты статических испытаний [2, 3, 7], проведенных в условиях постоянного бокового давления или в условиях простого нагружения: табл. 1 и 2 (m_0 — пористость, $Y_1 \approx Y_2$, $Y_3 \approx 0$, $K_1 = K/\tau_f^0$, $G_1 = G/\tau_f^0$, $R_1 = R_p/\tau_f^0$, R_p — прочность на отрыв, $R_c = 2\tau_f^0$). Испытания гранита Hoggar [7] проведены для весьма больших давлений ($p < 72$). Оказалось, что даже при таких значительных давлениях не наблюдалось перехода от кулоновых состояний к состоянию Треска. Для гранита Hoggar параметр S_2 вообще зависит от p : $S_2 = 0,8$ ($p \leq 19$); $S_2 = (0,8(71 - p) + 0,65(p - 19))/52$ ($19 < p \leq 71$).

Для исследованных геоматериалов коэффициент вариации прочностных свойств менялся от 50 до 75%, а коэффициент корреляции находился в пределах 97—99,9%. Для песчаников и алевролитов имеется достаточное количество данных. Поэтому для этих материалов можно получить корреляционные связи параметров модели с пористостью: $W_i = M_i + N_i m_0$ ($i = 1, 2, \dots, n$), где значения коэффициентов M_i , N_i и соответствующие коэффициенты корреляции приведены в табл. 3 (при обработке песчаник Nugget исключался).

Таблица 4

Параметры	Геоматериалы							
	1	2	3	4	5	6	7	8
$m_0, \%$	0,25	0,6	1,2	0,8	1,6	5	9	2,6
$\tau_f^0, \text{МПа}$	167	45	128	117	98	85	53	99
$K_1 \cdot 10^{-2}$	2,1	9	2,5	4,3	2,9	2,1	5,1	4,0
$G_1 \cdot 10^{-2}$	1,5	4,5	1,9	2,7	1,8	1,6	3,2	2,5
$Y_1 \cdot 10^3$	25	14	40	18	—	14	—	22
S_1	0,62	0,59	0,66	0,62	0,47	0,64	0,56	0,59
S_2	0,66	0,64	0,76	0,65	0,61	0,69	0,60	0,66
S_3	—	0,84	0,87	—	—	0,85	—	0,85
τ_1^0	0,75	0,68	0,84	0,87	0,77	0,73	0,65	0,75
τ_3^0	—	0,11	0,04	0,005	—	0,085	0,32	0,11
A_1	18	20	39	35	20	24	20	25
$M^0 \cdot 10^{-3}$	—	0,3	1,6	4,5	—	2,7	9,0	3,6
Λ^0	0,8	1,0	1,5	1,0	1,0	1,3	0,5	1,0
Λ_x^0	—	1,2	1,6	—	—	1,6	—	1,5
a_0	0,8	0,8	1,2	1,1	0,7	0,9	1,2	1,0
$R_1 \cdot 10^3$	58	—	50	56	—	46	—	53

Примечание. 1 — диориты, 2 — мраморы, 3 — граниты, 4 — диабазы, 5 — алевролиты, 6 — песчаники, 7 — известняки, 8 — значения параметров, усредненные по всем изученным геоматериалам.

Таблица 5

Источник	Геоматериалы								
	1	2	3	4	5	6	7	7'	8
[2]	66	64	76	65	61	69	60	—	66
[9]	73	59	78	73	65	71	59	65	68
[10]	—	—	79	—	—	74	67	66	72

Примечание. Обозначения те же, что и в табл. 4 (7' — аргиллиты).

В табл. 4 показаны усредненные по каждой группе геоматериалов параметры модели. Этими данными можно пользоваться для ориентировочных расчетов, если тип материала неизвестен.

Эксперименты, выполненные в [8], позволяют оценить влияние скорости деформирования ϵ_3 на параметры τ_3^0 , M^0 , Λ^0 , Λ_*^0 . Оказалось, что модуль M^0 значительно снижается, а прочность несколько возрастает с ростом ϵ_3 . Скорость дилатансии слабо зависит от ϵ_3 .

Некоторые авторы [9, 10] предложили уравнения поверхностей максимальной прочности записывать через наибольшее и наименьшее главные напряжения. При этом влияние промежуточного главного напряжения не учитывается вовсе. Зависимости, рекомендованные в [9, 10], перестроены к инвариантному виду, и найденные значения показателя степени $S_2 \cdot 10^2$ ($Y_2 \sim 0$) даны в табл. 5, откуда видно, что эти результаты удовлетворительно согласуются друг с другом и с измерениями [2].

ЛИТЕРАТУРА

1. Капустянский С. М., Николаевский В. Н. Количественная формулировка упругопластической дилатансионной модели (на примере песчаника).— Изв. АН СССР. МТТ, 1984, № 4.
2. Ставрогин А. Н., Протосеня А. Г. Пластичность горных пород. М.: Недра, 1979.
3. Ставрогин А. Н., Тарасов Б. Г. и др. Прочность и деформация горных пород в допределной и запределной областях.— ФТПРПИ, 1981, № 6.
4. Senseny P. E., Fossum A. F., Pfeife T. W. Non-associative constitutive laws for low porosity rocks.— Int. J. Numer. Anal. Math., 1983, v. 7, p. 101.
5. Wawersik W., Fairhurst Ch. A study of brittle fracture in laboratory compression experiments.— Int. J. Rock Mech., 1970, v. 7, p. 561.
6. Stephens D. R., Lilley E. M., Louis H. Pressure-volume equation of state of consolidated and fractured rocks to 40 kb.— Int. J. Rock Mech., 1969, v. 7, p. 257.
7. Николаевский В. Н., Лившиц Л. Д., Сизов И. А. Механические свойства горных пород. Деформации и разрушение.— Итоги науки и техники. Сер. Механика деформируемого твердого тела, т. 11. М.: ВИНТИ, 1978.
8. Ставрогин А. Н., Тарасов Б. Г., Певзнер Е. Д. Влияние скорости деформирования на запределные характеристики горных пород.— ФТПРПИ, 1982, № 5.
9. Hoek E. Strength of jointed rock masses.— Geotechnique, 1983, v. 33, N 3.
10. Brook N. Estimating the triaxial strength of rocks.— Int. J. Rock. Mech., 1979, v. 16, p. 261.

Поступила 4/VI 1984 г.

УДК 539.3 : 534.1

НЕОСЕСИММЕТРИЧНАЯ БИФУРКАЦИЯ РЕШЕНИЯ И УСТОЙЧИВОСТЬ ОБОЛОЧЕК ВРАЩЕНИЯ В УСЛОВИЯХ СИНГУЛЯРНОГО ВОЗМУЩЕНИЯ

В. В. ЛАРЧЕНКО

(Новосибирск)

Рассматривается явление ветвления форм равновесия тонкой оболочки без хлопка. В технике часто ставится задача о выведении оболочечной конструкции из искомого устойчивого состояния, когда она имеет несколько положений равновесия. В инженерной практике такие требования характерны, например, при использовании оболочки в качестве предохранительной хлопающей мембраны, в системах пневмоавтоматики, содержащих оболочечный элемент, и т. д. Трудности анализа этого типа задач имеют прямое отношение к одной из центральных проблем нелинейной теории оболочек — существованию многих устойчивых форм равновесия при одном значении параметра нагружения.